

## 프레임 차분 체적양자화기에 의한 복원영상의 압축 효과

최재윤\*, 김태효\*\*

\*경남대학교 전자공학과, \*\*경남대학교 정보통신공학부

## The Compression Effects of Reconstruction Images with Frame Difference Volume Quantizer

Choi Jae-yoon\*, Kim Tae-hyo\*\*

\*Department of Electronics Engineering in Kyungnam University

\*\*Division of Information and Communication in Kyungnam University

jychoi@semicon.kyungnam.ac.kr

### 요약문

본 논문에서는 연속되는 동영상 시퀀스의 9개의 프레임에서 이웃하는 프레임간의 차분 프레임으로 이루어진 8개의 차분 데이터를 3D-DCT 처리 후 특성에 맞는 프레임 차분 체적 양자화기(FDVQ)를 설계하고, 이것으로 처리된 영상데이터를 부호화하여 복원영상 데이터의 압축 효과를 분석하였다.

여러가지 동영상 서비스를 시험 대상으로 사용한 결과, 제안한 FDVQ를 적용한 3D-DCT 방법은 유사한 해상도에서 차분 영상 데이터에 대한 압축률은 2D-DCT 방법에 비하여 평균 20.3% 향상된 압축 효율을 얻었다.

체적 양자화(VQ:Volume Quantizer)를 이용한 3D-DCT 방법과 비교했을 때는 유사한 압축률을 보였다. 특히, 움직임 성분이 많은 영상에 대해서는 제안한 FDVQ를 이용한 방법이 압축률을 높일수록 2D-DCT 방법과 VQ를 이용한 방법보다 압축률 0.05bpp이하에서 약 1.0dB 개선된 결과를 나타내었다.

### I. 서 론

최근 멀티미디어 분야는 인터넷, 정보통신 등으로 통신, 방송, 저장매체 등에 주도적 역할을 해 오고 있으

며, 개인휴대 통신(PCS), 이동 통신 시스템(IMT-2000) 등에 정보통신을 이용한 실시간(real time)기술의 도입으로 동영상까지 지원되고 있으나 막대한 정보량 때문에 실시간 동영상 통신은 아직도 영상신호를 처리하는 압축 기술이 필수적으로 따르게 된다. 영상신호를 압축 없이 통신에 이용할 경우, NTSC 칼라 비디오 신호는 전송시 요구되는 전송량은 약 248Mbps이며, HDTV 칼라 신호인 경우는 채널 용량(channel capacity)이 1.5Gbps나 된다.

이러한 막대한 양의 영상정보는 정보의 공간적 분포가 전 영상부분에 나타나므로 정보를 분석하여 처리하기가 매우 어렵게 된다. 따라서 정보를 변화되는 크기(주파수성분 등)에 따라 일정 부분으로 집중되는 주파수 영역별로 나타내어 주파수 변환 방법으로 분석하기가 편리하다[1-3].

그러나, 현재 영상 압축 표준으로 사용되고 있는 2D-DCT는 동영상의 시간축에 대한 적용이 곤란하고 압축 효과가 실용적이지 못하여 영상의 실시간 처리에 적합하지 않고 MPEG 비디오 코딩[4]에서의 시간소비와 움직임 추정에 의한 손실(lossy) 동작 등의 결함이 생긴다.

따라서 본 논문에서는 시간축을 고려한 3차원을 적용하여 압축 효과를 높이려 하였다. 동영상 시퀀스에 대해 움직임 추정은 전체를 조사하지 않는 한 좋은 움직임 벡터를 얻지 못하는데, 2차원 DCT[5]에서는 약간의 손실을 가져오더라도 양자화를 이용한 압축률을 높이는

방법과 좋은 해상도를 얻기 위해서 압축률을 낮추는 방법을 이용해야 한다.

연속 영상 시퀀스에 대해서 시간축을 고려한 3차원으로 해석할 수 있다. 2차원을 확장한 3D-DCT는 대칭적 코덱과 동질적(homogeneous) 비디오에 대한 높은 압축률과 같은 고유의 장점[6]을 가지고 있다.

본 논문에서는 연속적인 영상 시퀀스의 프레임간 차분 데이터를 이용하여 주파수 성분인 3D-DCT 계수화하고 주파수 특성에 맞는 프레임 차분 체적 양자화기(frame difference volume quantizer:FDVQ)를 이용하여 다양한 영상의 주파수 성분에 대한 복원 영상의 해상도와 압축효과를 비교 분석하였다.

## II. 본론

### 2.1 이론적 배경

연속적인 영상신호는 이웃하는 픽셀과는 차이가 거의 없고, 픽셀간의 상관성이 매우 높아 공간 주파수 관점에서 저주파 성분에 해당하기 때문에 저주파 성분에 대하여 정보 신호의 의미를 두게된다.

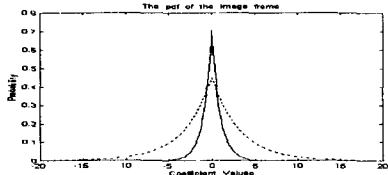


그림 2.1 AC 계수 확률밀도함수 분포곡선 비교

그림 2.1은 기존의 3D-DCT에 의한 것과 제안한 FDVQ의 차분 영상에 대한 3D-DCT의 AC 계수에 대한 확률밀도함수 관계를 나타내었다.

점선으로 나타난 분포 곡선은 기존의 3D-DCT에 의한 AC 계수의 분포 함수이며 실선으로 나타난 것은 제안한 방법에 의한 분포 함수이다.

차분 성분의 3D-DCT에 맞는 프레임 차분 체적 양자화기를 만드는데 사용되는 상수( $C$ ) 값을 결정하게 되는데 표현식은 지수적으로 변하는 함수를 적용하여 시간 축의  $w$ 변수를 독립변수로 한  $C = a \cdot e^{bw}$  형태를 이용하게 된다.

식(2.1)에서는 변환된 AC 계수 값들의 엔트로피 특성을 통계적으로 구하고, Crammer 법칙을 이용하여 수치적으로 구한 방정식이다.

$$C \approx 7.87 e^{0.01262(4(w+1)-1)} \quad (2.1)$$

식(2.1)은 데이터 점들이 모두 통과하지 않으나 이러한 점들을 가깝게 통과하는 완만한 곡선으로 근사화 시

킨 지수 곡선을 이용하여 회귀 분석적[7][8]으로 상수값을 구하였다. 그럼 2.2는 상수  $C$  값에 의해 블록 내에서 고려되는 픽셀 수의 개수를 나타내고 있으며, 실험 결과 제안한 방법은 기존의 방법보다 선택되는 영역의 픽셀 수가 많음을 알 수 있다. 이것은 차분 영상의 데이터가 적기 때문이며 고주파 성분도 고려하기 위한 것이다.

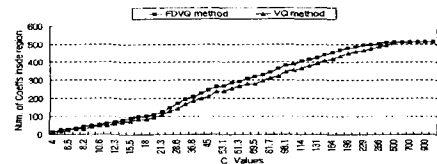


그림 2.2  $C$ 에 대한 8개의 frame에서 선택된 계수 수

### 2.2 3D-DCT 특성

연속되는 영상에 대하여 순간적인 2차원 평면공간에서 하나의 시간함수를 나타내는 변수를 추가하게 되면,  $N_R \times N_C$  블록은  $N_F \times N_R \times N_C$ 로 표현되는 큐빅블록(cubic block)으로 확장할 수 있다.  $N_F$ 는 3D-DCT 영역에서 시간축으로 큐빅블록을 고려한  $N_R \times N_C$  블록의 연속적인 프레임 수를 의미한다.

2D-DCT에 대한 표현식에 시간함수를 추가하면, 일반적인 3D-DCT와 3D-IDCT의 표현식은 식(2.2)와 식(2.3)과 같이 정의할 수 있다[9][10].

- 3D-DCT :

$$S(w, v, u) = \alpha_{3D}(w, v, u) \sum_{z=0}^{N_F-1} \sum_{y=0}^{N_R-1} \sum_{x=0}^{N_C-1} s(z, y, x) \cos(t_1) \cos(t_2) \cos(t_3) \quad (2.2)$$

- 3D-IDCT :

$$s(z, y, x) = \sum_{w=0}^{N_F-1} \sum_{v=0}^{N_R-1} \sum_{u=0}^{N_C-1} \alpha_{3D}(w, v, u) S(w, v, u) \cos(t_1) \cos(t_2) \cos(t_3) \quad (2.3)$$

여기서

$$t_1 = \frac{(2z+1)\pi}{2N_C}, \quad t_2 = \frac{(2y+1)\pi}{2N_R}, \quad t_3 = \frac{(2w+1)\pi}{2N_F}$$

$$\alpha_{3D}(w, v, u) = \sqrt{\frac{2}{N_F} \frac{2}{N_R} \frac{2}{N_C}} C(w) C(v) C(u)$$

$$\text{그리고, } C(k) = \begin{cases} \frac{1}{\sqrt{2}} & k=0 \\ 1 & k \neq 0 \end{cases}$$

$s(z, y, x)$  : 3D 샘플 픽셀 값  
( $N_F$  영상 프레임 ( $0 \leq z \leq N_F$ ))

$S(w, v, u)$  : 3D-DCT 계수  
( $N_F \times N_R \times N_C$  DCT 큐빅블록)

$w, v, u$  : 시간파 수평/수직 주파수  
변환영역에 대한 인덱스(Index)

$N_F \times N_R \times N_C$  구조를 갖는 DCT 큐빅블록은  $N_F$  영상 프레임들에 대한 각각의 정보를 포함한다. 특히 DCT

내의 큐빅블록에서 첫 번째 프레임  $F_0$ 는  $N_F$  영상 프레임들에 대한 DC 성분의 정보들을 포함하고 있으며, 두 번째 프레임에서 여덟 번째 프레임( $F_1 \sim F_7$ )까지의 각 프레임에 대한 대부분의 정보는 저주파에서 고주파 쪽으로 갈수록 움직임이 많은 성분들을 포함하고 있다.

그러므로 3D-DCT에서  $F_0$ 는 DC 성분으로 8 프레임에 대한 영상 데이터의 각각에 대한 중요한 정보를 포함하고 있음을 보여준다. 나머지 프레임들은 움직이는 고주파 성분의 정보를 포함하고 있으므로 원영상의 시퀀스에서 움직임과 일치한다[11].

영상을 압축할 때 저주파 부분을 고려하게 되면 매우 뛰어난 압축효과를 얻을 수 있다.

영상 블록에 대해 2D-DCT로부터 AC 계수의 분포는 일반적으로 Laplacian 분포(양방향의 지수적 형태) 함수에 의해 모델화 된다. Laplacian 분포 함수는 식 (2.4)와 같이 표현할 수 있다.

$$p(x) = \frac{\lambda}{2} e^{-\frac{|x|}{\lambda}} \quad (2.4)$$

식 (2.4)는 zero 값에 대해 대칭적으로 나타난다. 간단한 2D-DCT 블록으로부터 AC 계수의 분포 함수는 파라미터  $\lambda$ 의 근사 값을 찾음으로서 쉽게 양방향 지수적 분포 함수로 모델링 할 수 있다. 경험적으로 3D-DCT의 AC 계수들에 대한 일반적인 분포에 대하여 이론적 모델로서 등가적 양방향 지수 함수를 사용할 것이다.

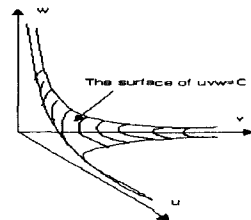


그림 2.3 3차원 그림자면 내의 입체도

그러므로, 이 입체 형태를 보다 적은 영역의 의미있는 계수들을 포함하는 영역에 대하여 점령하는 쌍곡면을 좀 더 정확한 보완성을 갖는 특성을 나타내므로 이것을 이동보완 쌍곡면(SCH:shifted complement hyperboloid)이라 하며 그림 2.3에 나타내었다.

그림 2.3의 쌍곡면의 벗금친 영역은 블록을 고려했을 때 쌍곡선에 의해 경계를 이루게 된다.

### III. 실험 결과

그림 3.1은 본 논문에서 사용된 동영상 시퀀스의 압축 부호화 알고리즘을 나타내고 있다. AC 계수의 대부분은 전체적 3D-DCT 큐빅블록에 대해 적은 에너지를

포함한다. 이것은  $8 \times 8 \times 8$  큐빅블록에 대해 511개의 계수로부터 주기적 최고점(peak)을 가지고 있으나 오른쪽으로 갈수록 감소하는 것을 알 수 있다. 이것은 그림 3.2에서  $P_1$ 의 함수로 나타낼 수 있다.

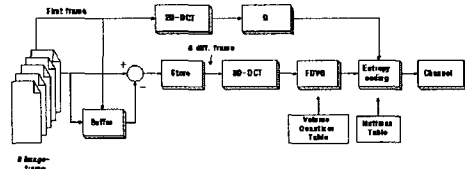


그림 3.1 FDVQ를 이용한 압축 부호화 블록도

또한, 그림에서  $P_2$ 로 표현되는 함수는 주기가 64인데, 큐빅블록의 각 평면 판에 대해  $u=0, v=0$  위치에 대응된다. 최소의 주기는 8로서  $P_3$ 에 의한 함수 표현이 가능하고, 각 축에서 3D-DCT 큐빅블록에 대한 시간축을 나타내는 시간차원에 대응된다.

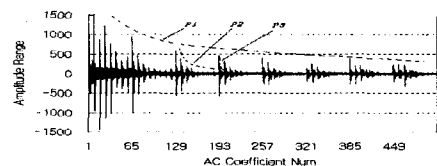


그림 3.2 Pingpong 영상 시퀀스의 AC 계수들의 분포도

기존의 AC 계수 분포는 그림 3.2에서와 같이 지수 함수적으로 감소하는 형태를 나타내었다.

그러나 본 논문에서 사용된 차분 데이터에 대한 실험 결과, 그림 3.3에서 나타낸 것과 같이  $w$ 값이 커질수록 지수 함수적으로 감소하지 않고 랜덤하게 변한다.

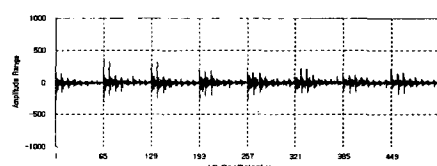


그림 3.3 Pingpong 영상 시퀀스의 1-9 차분 프레임에 대한 AC 계수들의 분포도

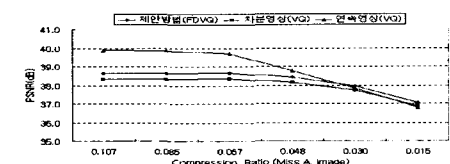
이것은 차분 데이터가 현재영상과 이전영상과의 차이 성분으로 나타나기 때문에 원영상의 데이터보다 적은 엔트로피를 갖고 이웃하는 픽셀간의 상관도 또한 멀어지기 때문이다.

실험 결과, 63개의 연속영상 프레임 시퀀스에 대한 동영상들의 평균 압축률을 표 1에 나타내었으며, PSNR

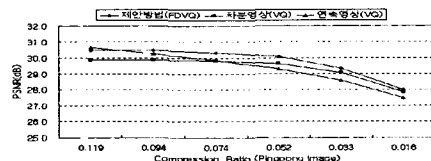
값과 압축률을 관계를 그림 3.4에 나타내었다.

표 1. 시험 영상의 압축률(bpp) 비교

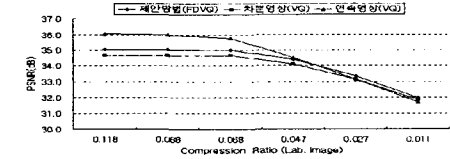
| 구분    | Miss A | Lab_img | Salse | Child | Cp_img | Ping. |
|-------|--------|---------|-------|-------|--------|-------|
| 제안방법  | 0.048  | 0.047   | 0.052 | 0.049 | 0.050  | 0.052 |
| 2D 방법 | 0.070  | 0.077   | 0.075 | 0.079 | 0.077  | 0.077 |



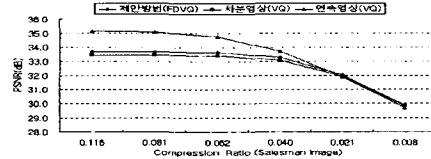
(a) Miss A. images



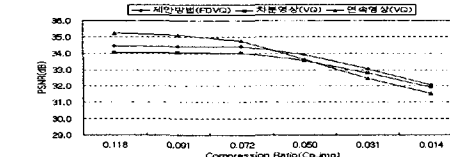
(b) Pingpong Image



(c) Lab\_img Image



(d) Salesman Image



(e) Cp\_img Image

그림 3.4 압축률에 따른 PSNR 특성

#### IV. 결론

FDVQ 방법에서 기존의 VQ 방법보다 압축률은 거의 같았지만 복원 해상도는 약 0.40dB 향상되었다. 저주파 성분을 많이 포함하는 동영상 시퀀스(Miss A. 등)에서 2D-DCT 방법의 평균압축률 0.076bpp보다 0.027bpp 좋은 0.049bpp로 상당히 압축 효과가 좋았으나 해상도가 상대적으로 낮게 나타났다. 그러나, 압축 효과를 높일수록 제안방법이 평균 0.4dB 정도 향상되었다. 고주파 성분을 많이 포함하는 동영상 시퀀스(Salesman 등)에서는 평균 압축률 0.052bpp로 약 0.024bpp 향상되었다.

실험결과 해상도가 같은 값으로 고려했을 때는 제안방법이 평균 압축률에서 약 20.3% 향상된 압축효과를 나타내었다. 결론적으로 제안방법에 의한 압축 알고리즘이 동영상 시퀀스에서 양호한 해상도에서 뛰어난 압축 효과를 얻을 수 있었으며 높은 압축률로 실시간 영상통신 분야 등에 적용할 수 있을 것으로 기대된다.

#### 참고 문헌

- [1] R. J. Clarke, "Transform coding of images", Academic Press, 1985.
- [2] 정체창 역, "최신 MPEG", 교보문고, 1995.
- [3] 호요성, "MPEG 표준화 기술 동향", 한국 정보 과학회 논문지, pp.16-26, May, 1996.
- [4] D. L. Gall, "MPEG: a video compression standard for multimedia applications", Communication of ACM, 35, pp.46-58, April, 1991.
- [5] K. Rao and P. Yip, "Discrete Cosine Transform: Algorithm, Advantages, Application", Academic Press, Inc., 1990.
- [6] A. Baskurt and R. Goutte, "3-Dimensional image compression by discrete cosine transform", in *Signal Processing IV:Theories and Applications, EURASIP*, pp.79-82, 1988.
- [7] John H. Mathews, "Numerical Methods for Computer Science, Engineering and Mathematics", Prentice-Hall International, Inc. 1987.
- [8] 森 正武, "Fortran 77 數值計算 programming", 岩波書店, 1985.
- [9] Farrelle, Paul M., "Recursive Block Coding for Image Data Compression", 1990.
- [10] Joan L. Mitchell, William B. Pennebaker, Chad E. Fogg and Didier J. LeGall, "MPEG Video : Compression standard", Chapman & Hall, 1997.
- [11] Borko Furht, Joshua Greenberg, Raymond Westwater, "Motion Estimation Algorithms for Video Compression", Kluwer Academic Publishers, 1997.